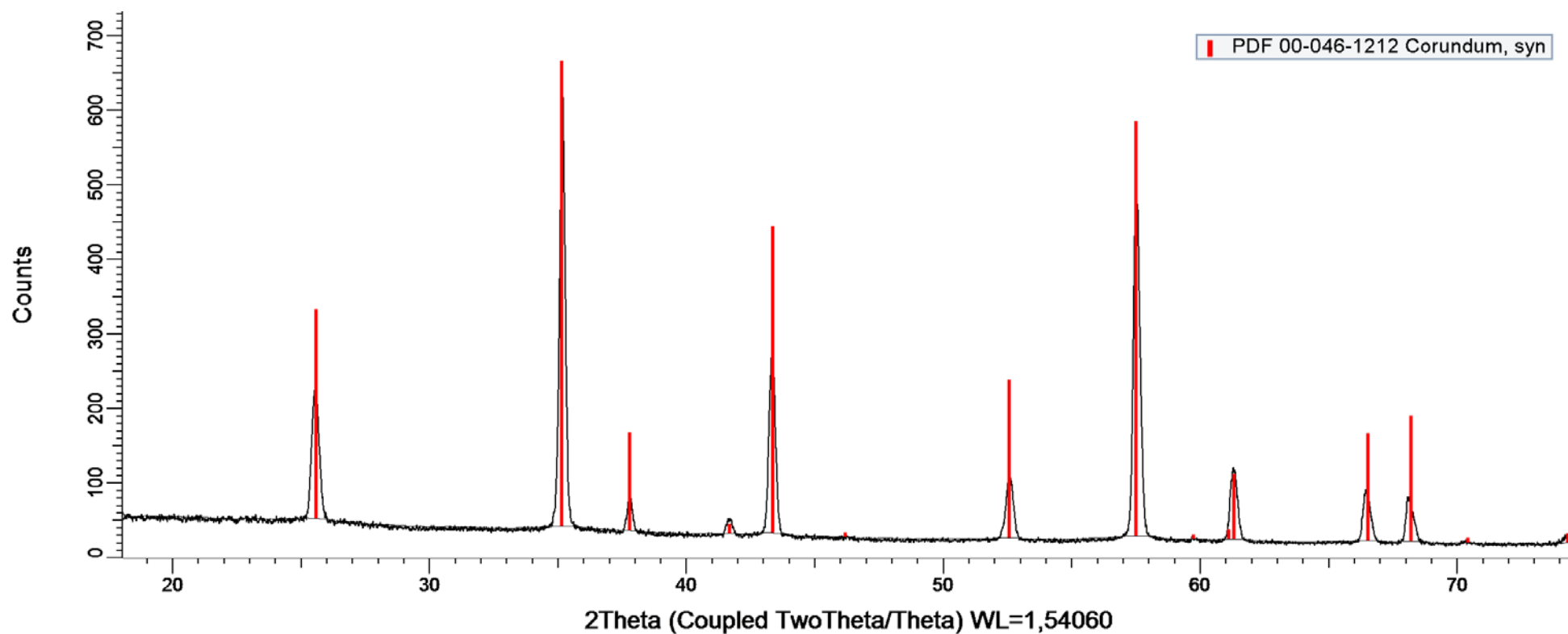
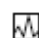



## PATRÓN DE CORINDÓN 29-04-15

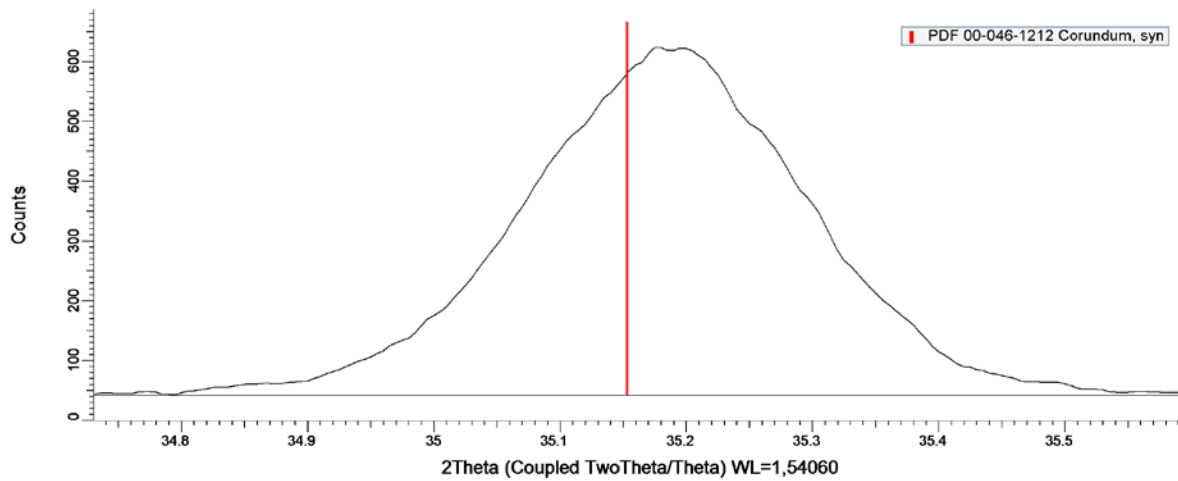


 CORINDON 29-04-15. Barrido tipo  $\Theta$ - $2\Theta$ . Rango: 20 a 60  $^{\circ}2\Theta$ . Paso: 20  $^{\circ}$ . Tiempo por paso: 60 seg. Detector: Vantec-500. Ánodo de Cu. Montel.

 Patrón de Corindón. Trigonal – a 4.7588770 - c 12.992877 – R-3c (167) – Z 6 – V 254.81

29 de abril de 2015

EVALUACIÓN DE LA POSICIÓN DEL PICO PRINCIPAL Y COMPARACIÓN CON EL PATRÓN DE CORINDÓN



Angle (deg.)		Intensity (cps)	
Left Angle	34,760	Left Int.	0,765
Right Angle	35,560	Right Int.	0,783
Obs. Max	35,186	Gross Int.	10,3
FWHM	0,246	Net Height	9,56
Chord Mid.	35,185	Lock Int.	<input checked="" type="checkbox"/>
I. Breadth	0,263	<b>Scherrer evaluation</b>	
Gravity C.	35,182	Crystallite Size (Å)	376,5
<b>Area (cps x deg.)</b>		Use FWHM	<input checked="" type="radio"/>
Raw Area	3,135	Use I. Breadth	<input type="radio"/>
Net Area	2,516	K =	1
		Instr. Width =	0
Select an Area		Append this Area	

Valor del pico principal para el Patrón de Corindón en  $2\theta$  de **35,181**, correspondiente al patrón PDF 46-1212 del ICDD.

Hemos obtenido un valor del Gravity del pico en  $2\theta$  de 35,182 que se encuentra dentro del rango de tolerancia establecido.

Se observa también un valor del máximo observado en  $2\theta$  de 35,186.